

· 基础研究 ·

高压氧对帕金森病大鼠多巴胺神经元保护作用的研究

曹学兵 林素芳 刘昌勤 秦开蓉 王同礼 尤春景 黄晓琳 郭铁成

【摘要】目的 探讨高压氧对帕金森病大鼠多巴胺神经元的保护作用。**方法** 将 68 只雌性 Sprague-Dawley 大鼠随机分成 5 组: 注射生理盐水高压氧处理组(A 组, $n=7$)、全程高压氧处理模型组(B 组, $n=18$)、未经高压氧处理模型组(C 组, $n=7$)、造模后高压氧治疗组(D 组, $n=18$)、造模前高压氧治疗组(E 组, $n=18$)。在实验第 1 天至第 7 天给予 A 组、B 组和 E 组大鼠高压氧治疗; 而在实验第 8 天时, 分别向 B 组、C 组、D 组及 E 组大鼠单侧脑黑质内定位注射 6-羟基多巴胺以制作偏侧帕金森病大鼠模型, 给予 A 组等量生理盐水定位注射。从实验第 8 天至结束, 分别给予 A 组、B 组及 D 组大鼠高压氧治疗; 并于造模后第 9 天、16 天及 21 天每组各处死 6 只大鼠, 取其纹状体用分光光度计测定超氧化物歧化酶(SOD)、丙二醛(MDA) 和 谷胱甘肽过氧化物酶(GSH-Px) 含量, 选用免疫组织化学方法测定黑质区域内酪氨酸羟化酶(TH) 阳性细胞数量及胶质纤维酸性蛋白(GFAP) 的表达。**结果** 与 C 组比较, B、D、E 组大鼠病变侧纹状体内 SOD 及 GSH-Px 活性显著增高, MDA 含量及 GFAP 表达明显降低, 6-羟基多巴胺毁损黑质区残存的 TH 阳性细胞数目明显增加。**结论** 高压氧治疗可以显著提高机体抗自由基损伤功能、减弱胶质细胞效应发挥, 从而有效保护脑黑质区多巴胺(DA)能神经元功能。

【关键词】 高压氧; 帕金森病; 多巴胺神经元; 神经保护

Neuroprotective effect of hyperbaric oxygenation on dopaminergic neuron in hemiparkinsonian rats CAO Xue-bing, LIN Su-fang, LIU Chan-qin, QIN Kai-rong, WANG Tong-li, YOU Chun-jin, HUANG Xiao-lin, GUO Tie-cheng. Department of Neurology, Union Hospital, Tongji Medical College, Huazhong University of Science and Technology, Wuhan 430022, China

[Abstract] **Objective** To evaluate the neuroprotective effect of hyperbaric oxygenation(HBO) on dopaminergic neuron in hemiparkinsonian rats. **Methods** Sixty-eight female Sprague-Dawley rats were randomly divided into five groups: group A, normal rats injecting physiological saline solution into substantia nigra followed by HBO intervention($n=7$); group B, Parkinson disease(PD) models with HBO before and after the injection of 6-hydroxydopamine($n=18$); group C, PD models without HBO all through the course($n=7$); group D, PD models that with HBO only after the injection of 6-hydroxydopamine($n=18$); group E, PD models with HBO only before the injection of 6-hydroxydopamine($n=18$). From the 1st to the 7th day, groups A, B and E were under the HBO treatment. On the 8th day, groups B, C, D and group E accepted 6-OHDA solution injections into the right striatum. Group A was given equal physiological saline solution injection of the same dose. From the 9th day onwards, groups A, B and D began to be treated with HBO. On the 9th day, 16th day and 21st day after the models were established, 6 animals of each group were sacrificed, respectively. The levels of Cu/Zn superoxide dismutase(Cu/Zn-SOD), manganese superoxide dismutase(MnSOD), glutathione peroxidase(GSH-Px) and malondialdehyde(MDA) of the striatum were measured by using immunohistochemistry, the expression of glial fibrillary acidic protein(GFAP) and tyrosine hydroxylase(TH)-positive neurons in the right substantia nigra were observed. **Results** In the groups accepted prevention or treatment of HBO, the numbers of TH-positive neurons and the levels of Cu/Zn-SOD, MnSOD and GSH-Px were significantly increased when compared with group C($P < 0.01$, respectively), and in groups B, D and E, the expression of GFAP and the level of MDA decreased dramatically when compared with group C($P < 0.01$, respectively). **Conclusion** HBO can attenuate the degree of oxidative stress in the striatum and protect dopaminergic neurons against the toxicity of 6-OHDA in substantia nigra.

【Key words】 Hyperbaric oxygenation; Parkinson disease; Dopaminergic neurons; Neuroprotection

基金项目: 国家自然科学基金资助项目(No. 30170334)

作者单位: 430022 武汉, 湖北省神经系统重大疾病重点实验室, 华中科技大学同济医学院附属协和医院神经科(曹学兵、林素芳、刘昌勤); 华中科技大学同济医学院附属同济医院康复医学科(秦开蓉、王同礼、尤春景、黄晓琳、郭铁成)

帕金森病(Parkinson disease, PD)的病因目前尚不十分明确, 纹状体-黑质部多巴胺(dopamine, DA)神经元的变性、死亡致使 DA 减少是该症主要的生化改变之一, 而当前又缺乏行之有效的保护性治疗措施。

传统观点认为,环境毒素、多巴胺自身氧化、线粒体功能不全、铁离子代谢障碍、兴奋性氨基酸毒性作用、自由基清除系统功能降低或失活以及一氧化氮等原因均可能参与了 DA 神经元慢性缺失的过程或者是诱发过程^[1]。但无论是哪种病理机制假说,均支持线粒体功能不全及氧化应激是导致 PD 患者 DA 神经元死亡的最终原因。因此,寻求早期有效保护 DA 神经元的途径是 PD 临床治疗领域中的重大课题之一^[2]。

有研究表明,当压力 < 2.5 ATA 时,高压氧(hyperbaric oxygenation, HBO)治疗可减少脑内自由基的生成,抑制自由基对脑组织的损伤,提高脑组织对葡萄糖的利用率,促进损伤脑组织的修复及神经功能恢复^[3]。HBO 作为一种康复治疗手段,目前已在临幊上广泛用于治疗多种神经疾病,如脑梗死、脑出血等^[4]。基于 HBO 的治疗机理,我们推测 HBO 可能具有保护 DA 神经元的功能,从而为 PD 患者的早期治疗及预防提供一种新的治疗手段。

材料与方法

一、实验材料

1. 主要试剂与仪器:6-OHDA(Sigma 公司),MDA 试剂盒、GSH-Px 试剂盒和 SOD 试剂盒(南京建成生物工程研究所),GFAP、TH(北京中山公司),高压氧动物实验舱(烟台宏远 G2-Y900-002 型)。

2. 实验动物:共选取体重约 200~250 g 的雌性 Sprague-Dawley 大鼠 68 只,由华中科技大学同济医学院实验动物中心提供。

二、实验方法

1. 实验分组:将上述动物随机分为 5 组,包括注射生理盐水高压氧处理组(A 组,n=7)、全程高压氧处理模型组(B 组,n=18)、未给予高压氧处理模型组(C 组,n=7)、造模后高压氧处理组(D 组,n=18)、造模前高压氧处理组(E 组,n=18)。

2. 偏侧帕金森病大鼠模型制备:于实验开始后第 8 天时,将各组大鼠用 10% 水合氯醛(450 mg/kg 体重,ip)麻醉后放置于水平定位仪上,调整齿杆高于耳杆 2 mm,向大鼠(A 组除外)右侧纹状体内分 3 点各注射 6-OHDA(3 μg/μl,加入 Vit C,使其终浓度为 0.2%)10 μl,A 组大鼠相同部位则分 3 点注射等量生理盐水 10 μl,各组注射速度均为 1 μl/min。上述大鼠的 3 点注射坐标分别为:A 点(前囟后 1.0 mm,旁正中 3.0 mm,硬膜下 5.0 mm)、B 点(前囟后 0.1 mm,旁正中 3.7 mm,硬膜下 5.0 mm)、C 点(前囟后 1.2 mm,旁正中 4.5 mm,硬膜下 5.0 mm)。拔针前须留针 2 min,然后以 1 mm/min 的速度退针,随后用补牙胶封颅骨孔并缝合头皮,再肌注青霉素 100 000 IU。待大鼠清醒

后让其自由摄食、饮水。

3. HBO 处理:于实验开始后第 1 天至第 7 天,分别给予 A 组、B 组及 E 组大鼠 HBO 处理;从实验开始后第 8 天至结束时,分别给予 A 组、B 组及 D 组大鼠 HBO 处理。将大鼠置于高压氧舱内,先用纯氧洗舱 10 min,然后在 10 min 内缓慢升压至 2.25 ATA 并保持 60 min,其间稳定通纯氧 10 min,最后舱内压力于 20 min 内匀速减至常压后大鼠出舱。

4. 动物处理与取材:取 1 ml 阿朴吗啡(APO)行大鼠腹腔注射,观察注射后 10 min 内大鼠的行为学变化。B、D、E 组分别于造模后第 9 天、16 天及 21 天时各抽出 6 只大鼠,于深度麻醉条件下取出其大脑组织,置于冰盘上分离出双侧纹状体,用吸水纸吸干后称重,并立即置于 -70°C 冰箱内保存;分离出的黑质部脑组织则置入 4% 的多聚甲醛液中固定,随后脱水、透明并石蜡包埋。

5. 免疫组织化学染色及图像分析:将石蜡包块进行超薄切片,参照免疫组织化学 ABC 法分别进行酪氨酸羟化酶(TH)及胶质纤维酸性蛋白(GFAP)染色,各组大鼠均选取 3 张连续脑切片并分析同一部位后计算出平均值。GFAP 经美国 Nikon FX-35DX 图像采集处理系统采图后,选用 HPIAS-1000 高清晰度彩色病理图文报告分析系统进行分析,测量免疫组织化学染色的阳性目标总面积与统计场总面积(面密度)的比值;于光镜下计数 3 张连续切片中同一部位 TH 阳性细胞的数量,并取平均值。

6. SOD、GSH-Px 活性及 MDA、组织蛋白含量的检测:待标本全部收集后,置于玻璃匀浆器内,按 10% 比例加入冰冻生理盐水,于冰盘上充分匀浆,制成 10% 的组织匀浆液。参照试剂盒说明书测定标本 MDA 含量(TBA 法),然后将 10% 组织匀浆液用冰冻生理盐水稀释成 2% 组织匀浆液及 1% 的组织匀浆液,按试剂盒说明书分别测定 GSH-Px 和 Cu/Zn-SOD 以及 Mn-SOD 活性(黄嘌呤氧化酶法)。用双缩脲法测定组织蛋白含量。

三、统计学分析

所有数据均以($\bar{x} \pm s$)表示,组内左、右侧及组间比较采用 R 软件作 ANOVA 检验, $P < 0.05$ 为差异具有统计学意义。

结 果

一、各组大鼠纹状体组织 Mn-SOD、Cu/Zn-SOD、GSH-Px 活性及 MDA 含量的比较

A 组两侧纹状体组织 Mn-SOD、Cu/Zn-SOD、GSH-Px 活性及 MDA 含量间差异均无统计学意义($P > 0.05$);对各组损毁侧进行比较,发现 C 组损毁侧 Mn-

SOD、Cu/Zn-SOD 及 GSH-Px 活性显著降低, MDA 含量显著增高 ($P < 0.01$); 将 B 组损毁侧与 D、E 组损毁侧进行比较, 发现前者 Mn-SOD、Cu/Zn-SOD 以及 GSH-Px 活性显著增高 ($P < 0.01$), MDA 含量显著降低 ($P < 0.01$); 与 E 组损毁侧比较, 发现 D 组损毁侧 Mn-SOD、Cu/Zn-SOD 及 GSH-Px 活性均明显增高 ($P < 0.05$), MDA 含量显著降低 ($P < 0.05$), 具体数据详见表 1。

二、各组大鼠黑质区域 GFAP 表达水平比较

C 组大鼠损毁侧黑质区域星形胶质细胞较 A 组明显增多 ($P < 0.01$), 同时伴有细胞形态改变, 如星形胶质细胞胞体肥大, 突起增粗、变长, 染色加深等, A 组大鼠黑质区域 GFAP 阳性细胞呈散在分布, 且阳性细胞胞体较小; B、D、E 组损毁侧黑质区域 GFAP 表达水平明显较对照侧减弱 ($P < 0.01$), 其星形胶质细胞胞体较小, 突起变细、变短, 其中以 B 组及 D 组的星形胶质细胞变化最为显著 (图 1, 3~7)。

三、各组大鼠黑质区域 TH 阳性细胞数目比较

A 组黑质区域 TH 阳性细胞密集, 呈多角形。C 组损毁侧 TH 阳性细胞数量显著减少 ($P < 0.01$), 较对侧减少了 65.2%, 细胞呈圆形, 着色浅, 突起少见, 其形态变化以损伤后第 21 天时最为明显。与 C 组比较, B、D、E 组损毁侧黑质区域 TH 阳性细胞数均显著增多

($P < 0.05$), 其细胞形态也呈圆形, 着色浅, 突起明显增多, 可见多角细胞, B 组及 D 组细胞形态变化在损伤后第 16 天时最为显著, 其突起数量较损伤后第 9 天时明显增多, 而第 21 天与第 16 天时比较, 差异无统计学意义 (图 2, 8~12)。

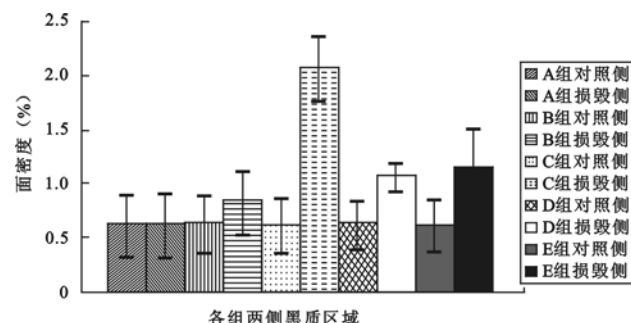


图 1 各组大鼠黑质区域 GFAP 表达变化的比较

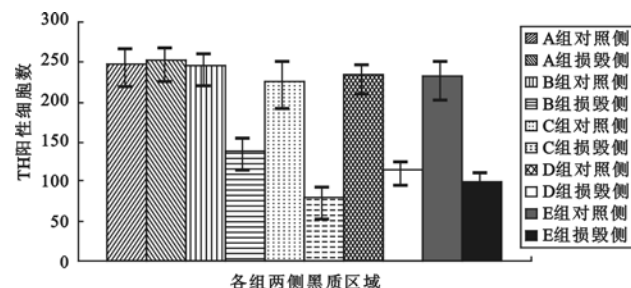


图 2 各组大鼠黑质区域 TH 阳性细胞数目的比较

表 1 各组大鼠纹状体组织 Mn-SOD、Cu/Zn-SOD、GSH-Px 活性和 MDA 含量变化比较 ($\bar{x} \pm s$)

组 别	Mn-SOD (U/mg)	Cu/Zn-SOD (U/mg)	GSH-Px (U/mg)	MDA (nmol/mg)
A 组	41.354 ± 7.858	34.263 ± 2.261	26.715 ± 5.708	1.717 ± 0.73
	46.803 ± 6.755	34.592 ± 5.273	34.830 ± 8.436	3.442 ± 1.471
B 组	37.747 ± 9.459 *	25.159 ± 8.171 *	23.069 ± 5.306 *	7.287 ± 1.718 *
	5.656 ± 2.471	5.677 ± 1.643	3.916 ± 1.774	26.901 ± 4.379
C 组	20.419 ± 4.093	18.393 ± 0.588	20.404 ± 1.431	3.642 ± 0.098
	26.421 ± 5.667 *#△	22.216 ± 9.446 *△	23.788 ± 12.988 *#△	10.743 ± 1.169 *#△
D 组	20.056 ± 3.305 *#	17.636 ± 1.782 *#	13.758 ± 1.281 *#	16.138 ± 2.575 *#

注: 各组损毁侧(右侧)与 C 组损毁侧(右侧)比较, * $P < 0.01$; B 组与 D、E 组损毁侧比较, # $P < 0.01$; D 组与 E 组损毁侧比较, △ $P < 0.05$

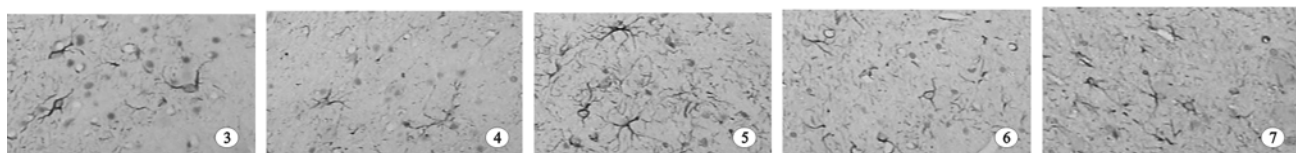


图 3 A 组右侧黑质区域 GFAP 表达 ($\times 400$); 图 4 B 组右侧黑质区域 GFAP 表达 ($\times 400$); 图 5 C 组右侧黑质区域 GFAP 表达 ($\times 400$); 图 6 D 组右侧黑质区域 GFAP 表达 ($\times 400$); 图 7 E 组右侧黑质区域 GFAP 表达 ($\times 400$)

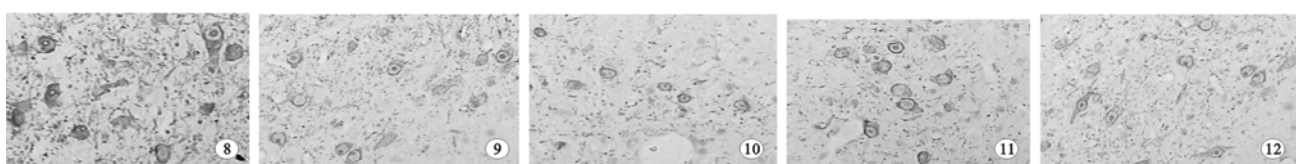


图 8 A 组右侧黑质区域 TH 阳性细胞 ($\times 400$); 图 9 B 组右侧黑质区域 TH 阳性细胞 ($\times 400$); 图 10 C 组右侧黑质区域 TH 阳性细胞 ($\times 400$); 图 11 D 组右侧黑质区域 TH 阳性细胞 ($\times 400$); 图 12 E 组右侧黑质区域 TH 阳性细胞 ($\times 400$)

讨 论

HBO 治疗可以提高动脉氧分压, 维持脑组织氧供, 增强 Na^+/K^+ -ATP 酶活性以及脑组织对葡萄糖的利用率, 提高自由基清除酶系统的功能, 抑制自由基对脑组织的损害, 促进受损脑组织的修复及神经功能恢复, 故目前在临幊上广为应用。前苏联 Neretin 等^[5]曾对 PD 患者进行 HBO 治疗, 结果表明 HBO 能明显改善 PD 患者的僵直症状, 但对震颤的改善效果不是很明显。赵伟秦等^[6]研究发现, HBO 治疗可部分缓解由 MPTP 诱发的小鼠黑质纹状体区 DA 及其代谢产物的耗竭, 于电镜下观察发现, 其轴索肿胀及神经细胞缺血性改变亦明显轻于未经 HBO 处理的模型组, 但在行为学改变及黑质区神经细胞脱失方面则组间差异不显著。

GFAP 是星形胶质细胞的特异性标志物。目前有多项研究表明, 星形胶质细胞可分泌 TNF- α 、IL-1 及 IL-6 等细胞因子, 诱导免疫炎性反应参与 DA 能神经元的损伤过程^[7,8]。C 组损毁侧黑质-纹状体内星形胶质细胞明显增生, 同时伴有细胞形态改变, 如细胞胞体肥大、突起增粗、变长、染色加深等, 提示 6-OHDA 可能通过诱导星形胶质细胞增生, 引发免疫炎症反应而导致 DA 能神经元损伤。本研究结果提示 HBO 治疗可显著抑制星形胶质细胞增生及由其引发的免疫炎症反应, 增强 DA 能神经元对 6-OHDA 的耐受能力, 起到保护 DA 能神经元及促进其功能恢复的功效。

本研究同时发现, 6-OHDA 可导致大鼠损毁侧 GSH-Px 及 SOD 酶活性降低, 黑质-纹状体区自由基浓度增高, 造成黑质-纹状体内 DA 能神经元损伤; 而 GSH-Px 和 SOD 是体内最主要的自由基清除酶物质, 通过 HBO 处理能大大提高这两种酶的含量, 从而加快自由基的清除, 保护 DA 能神经元, 降低脂质过氧化程度。另有研究发现, 只有当黑质-纹状体内 DA 能神经元较正常数量减少超多 90% 时(即处于 PD 晚期)才会出现典型的 PD 症状, 也只有在此时才会出现由 APO 引发的旋转行为^[9]。本实验结果发现, C 组损毁侧黑质区域残余 TH 阳性神经元数量较对侧减少了 65.2%, 且未观察到 APO 引发的旋转行为, 符合早期 PD 的病理特征^[10]; 且该组损毁侧 TH 阳性神经元着色较正常细胞浅, 胞体呈圆形, 突起较少, 其形态变化程度随时间进展逐渐加剧, 以损伤后第 21 天时最为明显, 而染色水平则未见明显改变, 说明 6-OHDA 对 DA 能神经元的毒性作用较持久。经 HBO 处理后的各组损毁侧黑质区域内 TH 阳性神经元数

量均较 C 组明显增多, 其 TH 阳性细胞胞体呈圆形, 着色浅, 突起明显增多, 并可见多角形细胞, 持续吸氧和预防性吸氧大鼠以损伤后第 16 天时的细胞形态改变最为显著, 细胞突起较第 9 天时明显增多, 而第 21 天与第 16 天时比较, 差异无统计学意义, 表明 HBO 治疗可以保护 DA 能神经元, 对抗 6-OHDA 的神经毒性作用。

综上所述, HBO 治疗可以通过抑制星形胶质细胞增生, 提高黑质-纹状体内 GSH-Px 及 SOD(包括 MnSOD 和 Cu/Zn-SOD)活性, 降低脂质过氧化水平, 加快自由基清除速度, 从而增强 DA 能神经元对 6-OHDA 的耐受能力, 促进其神经功能恢复。虽然本次研究结果提示 HBO 是一种潜在可用于预防和治疗 PD 患者的手段, 但其临床应用是否能够有效延缓 PD 患者的病情进展、显著改善 PD 患者的症状仍需进一步探讨。

参 考 文 献

- 1 Dawson TM, Dawson VL. Molecular pathways of neurodegeneration in Parkinson's disease. *Science*, 2003, 302:819-822.
- 2 Chung KK, Dawson VL, Dawson TM. New insights into Parkinson's disease. *J Neurol*, 2003, 250:15-24.
- 3 高春锦, 杨捷云, 编著. 实用高压氧学. 北京: 学苑出版社, 1997. 212-214.
- 4 Mrsic-Pelcic J, Pelcic G, Vitezic D, et al. Hyperbaric oxygen treatment: the influence on the hippocampal superoxide dismutase and Na^+/K^+ -ATPase activities in global cerebral ischemia-exposed rats. *Neurochem Int*, 2004, 44:29-38.
- 5 Neretin VIa, Lobov MA, Kotov SV, et al. Hyperbaric oxygenation in the complex treatment of Parkinson disease. *Zh Nevropatol Psichiatr Im S S Korsakova*, 1989, 89:38-40.
- 6 赵伟秦, 童启进, 孟杰, 等. 高压氧对 MPTP 引起的小鼠帕金森综合征行为、超微结构和生化改变的影响. 中华航海医学杂志, 1997, 4: 172-177.
- 7 Mogi M, Togari A, Tanaka K, et al. Increase in level of tumor necrosis factor (TNF)- α in 6-OHDA-lesioned striatum in rats without influence of systemic L-DOPA on TNF- α induction. *Neurosci Lett*, 1999, 268:101-104.
- 8 曹学兵, 王涛, 孙圣刚, 等. 左旋多巴治疗影响实验性帕金森病大鼠黑质纹状体 TNF- α 表达的研究. 临床神经病学杂志, 2002, 15:15-17.
- 9 Deniz K, Carl R, Anders B. Characterization of behavioral and neurodegenerative changes following partial lesions of the nigrostriatal dopamine system induced by intrastriatal 6-hydroxydopamine in the rat. *Exp Neurol*, 1998, 152:259-277.
- 10 XU Y, SUN S, CAO X. The protective effect of glutathione on dopaminergic neurons. *J Tongji Med Univ*, 2002, 22:355-358.

(收稿日期: 2005-03-20)

(本文编辑: 易 浩)